

## 斜め平板から出る渦

東大・工 桑原 邦郎

## §1. いとくら

高い Reynolds 数の流れを解析的に研究することは、基礎方程式である Navier-Stokes 方程式の非線形性のため、さわめてむずかしい。また差分法を用いて数値的に解を求めるよりも、格子点の数を、Reynolds 数が高くなるにしたがって多くとらねばならないという制限があり、簡単なことではない。又次之外部流では、現在の超大型計算機とよばれるものを用い、Reynolds 数が 1000 程度の計算がごく最近まで行われていただる。

ところが、われわれが日常しばしば経験する流れは、Reynolds 数が数万から数千万程度のものが多い。このようす、高 Reynolds 数の流れに関しては、現在の高速計算機の能力をもつても従来の差分法を用いて「数値計算」、物理的に意味ある結果を得ることはほとんど不可能に近い。

しかししながら、高 Reynolds 数の流れでは、粘性の影響が少  
わかつ小さな領域、あるいは薄い層に限られていて、他の領域  
では粘性がない、完全流体とみなすことができる場合が多い。  
また、渦では、粘性が意味をもつ領域でしか発生せず、このよ  
うな流れでは、いちど発生した渦は、ほとんど消滅しない。  
このような場合、渦の領域を、適当に配置した渦系群で置換  
し、渦系内の運動量的相互作用により、流れを時間的に追  
跡する近似法である。(本論文では、この方法を渦系近似、  
あるいは discrete-vortex approximation とする。) この近  
似法は、Reynolds 数無限大の極限をめつづることに相当し、  
かつ数値計算に非常に適している。

Rosenhead が渦層の安定性を論ずる目的で 1931 年<sup>(1)</sup>に最初  
の渦系近似による計算を行なって以来いくつかの研究が、  
この方法を用いてなされたが、物体を通過する流れに限  
て渦系近似を用いたものは、ほとんど円柱を通過する流れに限  
られ、走航的には、甚く実験とある結果が得られている。  
生成される渦の強さと発生位置の決定は、どうしてかみ  
いまいが残り、定量的な研究はあまりなされていない。

本論文では、渦系群と物体との相互作用の例として、不規  
則平板を下げる流れを研究し、板が常に一定速度で動かすし  
た時の抵抗を非常約に計算した。また、この計算は、カル

マンの渦列が、比較的単純な、完全流体の渦の向の運動學的相互作用だけで形成されるこことを示している。この表の計算では、渦系の数が時間的に増加してしまい、非常的な計算を進めていくことが実際にはむずかしくなるという問題があるが、ある渦系の群を適当なひとつの渦系で置換えるといき操作によつて、十分後流が発達するまで計算可能であることが示された。

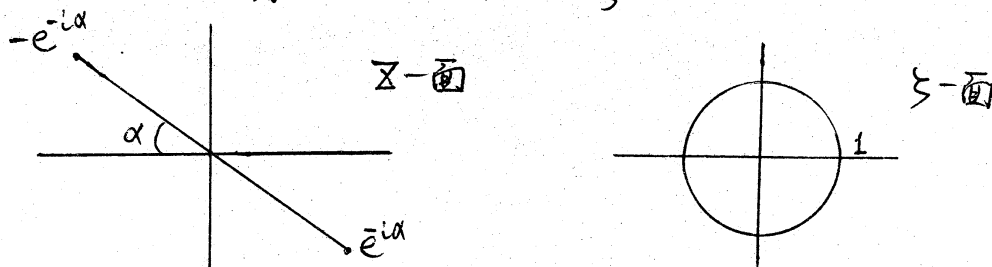
## §.2. 是式化

渦系近似の基本方程式は、複素表示を用いて、

$$\frac{d\bar{z}_i}{dt} = \left( \frac{df_i}{dz} \right)_{z=\bar{z}_i} \quad (1)$$

と書ける。ここで  $f_i$  は第  $i$  番目の渦系による量を示す複素速度 potential である。速度 potential を求めるためには、平板と内に写像し、二の面を上面と下る。写像函数は、

$$z = \frac{1}{2} \exp(-i\alpha) \cdot \left( \zeta + \frac{1}{\zeta} \right) \quad (2)$$



上一面の速度 potential は

$$f = \frac{1}{2} \exp(-i\alpha) \cdot (\zeta + \frac{\exp(z+i\alpha)}{\zeta}) - i \sum_{j=1}^{2n} K_j \log(\zeta - \zeta_j) + i \sum_{j=1}^{2n} K_j \log(\zeta - \bar{\zeta}_j). \quad \zeta_j \equiv 1/\zeta_j \quad (3)$$

ここで、 $K_j, \zeta_j$  は  $j$  番目の渦系の強さと位置である。この式  
1項は初めの potential 流れをあらわし、+2項(2渦系)である  
その2<sup>nd</sup>、+3項は境界条件を合せるための鏡像(2る項)であ  
る。

5一面に沿う運動方程式は、

$$\frac{d\bar{\zeta}_i}{dt} = \frac{df_i}{d\zeta} \cdot \left| \frac{d\zeta}{dz} \right|_{\zeta=\zeta_i}^2. \quad (4)$$

となる。

渦系の強さ  $K_j$  は hutta の条件

$$\left( \frac{df}{d\zeta} \right)_{\zeta=\pm 1} = 0 \quad (5)$$

である。

平板による流れ一般化された Blasius の式

$$X - iY = i\beta \cdot \phi \frac{\partial \bar{f}}{\partial z} d\bar{z} + \frac{1}{2} i\beta \cdot \phi \left( \frac{df}{dz} \right)^2 dz, \quad (6)$$

を用いて求まる。ここで  $X, Y$  は抵抗と揚力である。(3)式を  
用いる

$$\oint \frac{\partial f}{\partial z} dz = -2\pi \cdot \exp(-i\alpha) \cdot \sum_{j=1}^{2n} K_j \cdot \operatorname{Re} \left( \frac{1}{z^2} \frac{\partial \xi_j}{\partial z} \right)$$

$$\oint \left( \frac{df}{dz} \right)^2 dz = -4\pi \cdot \sum_{j=1}^{2n} K_j \left( \frac{d\xi}{dz} \right)_{z=\xi_j} \cdot \left\{ \left( \frac{df_j}{dz} \right)_{z=\xi_j} + \frac{i K_j}{(\xi_j'^2 - 1) \xi_j'} \right\}.$$

数値計算の詳細は文献(2)にゆずる。

### §3. 結果

特徴的な例として、逆立角  $60^\circ$  と  $15^\circ$  の場合の流れのパターンを図上、図2に示す。この結果は、Arakaki<sup>3), 4), 5)</sup> の実験結果と非常によい一致を示している。また、この結果は、乱流中の coherent 運動が、非常に單純な完全液体の渦の間の運動量の相互作用だけで与えられることを示唆している。

### 謝辞

この問題を最初に示唆された今井功先生に感謝します。  
また、貴重な実験結果を教えて下された新垣義一先生に感謝します。

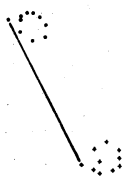
### 文献

- 1) L.Rosenhead: Proc. Roy. Soc. A 134 (1931) 170.
- 2) K.Kuwahara: J. Phys. Soc. Japan 35 (1973) 1545.

144

- 3) G.Arakaki: J. Sci. Hiroshima Univ., A-II32 (1968) 91.
- 4) G.Arakaki: Bul. Sci. & Eng. Univ. Ryukyus, Math. & Nat.  
Sci. 15 (1972)
- 5) G.Arakaki: private communication.

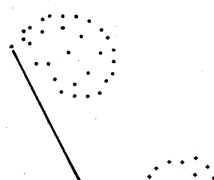
図 1



$n=10$   
 $t=0.4$

(a) 平板の上  
端口と漏口

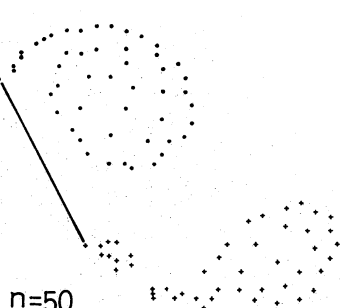
(まだ) 丸。



$n=30$   
 $t=1.7$

(b) まだ丸。

漏口成長下  
3。



$n=50$   
 $t=3.4$

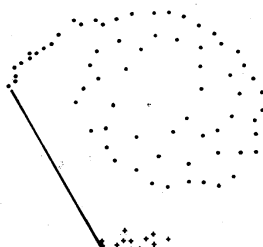
(c) 上端口と

(まだ) 大漏

口下端口と

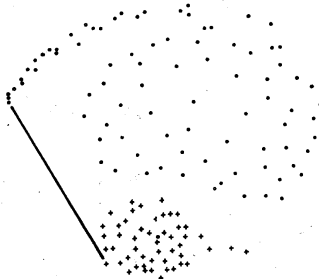
の漏の内に

入り立てる。



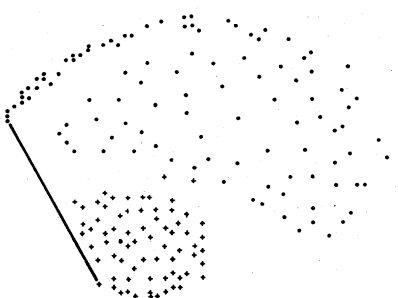
$n=70$   
 $t=5.0$

(d) 下端口に  
はがれ穴洞  
は独立して  
左巻洞と  
下底孔流  
され。



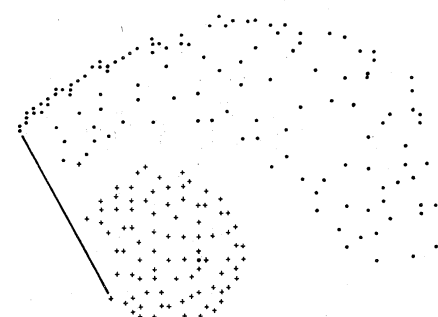
$n=90$   
 $t=6.3$

(e) 下端1:2  
の下2番目  
の洞の下  
まゝが成長  
下る。上端  
の洞は成長  
を続行す。



$n=110$   
 $t=7.6$

(f) 長さ進  
む。



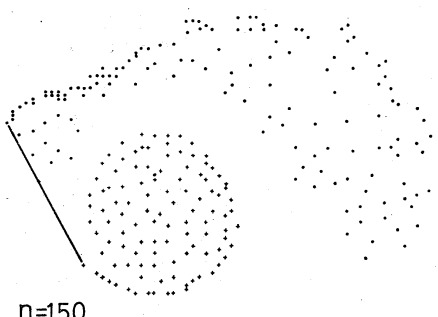
(g) 下端の洞

下端ま'

上端の洞

内に入り

はじめます。

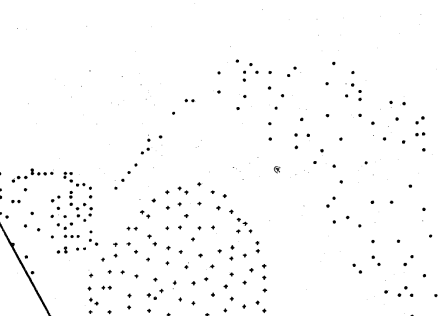


(h) 下端の洞

上端の洞

を切ります

はじめます。



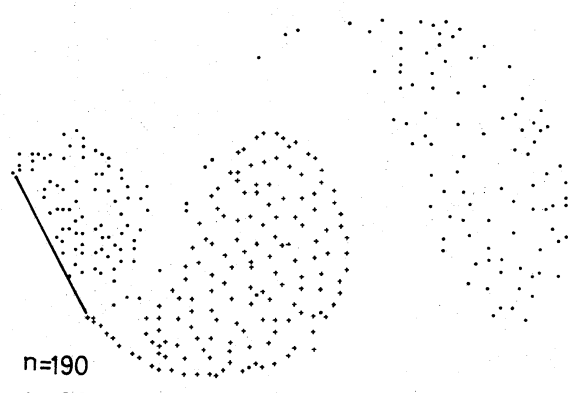
(i) 下端の洞

は成長を

づけ、上端

の洞を切り

はじめます。



上端の2  
看目が漏れ

成長し、下

端の2看目

が漏れを切り

は下光る

下。

(g)以下同様

左上端、下

端の漏れの相

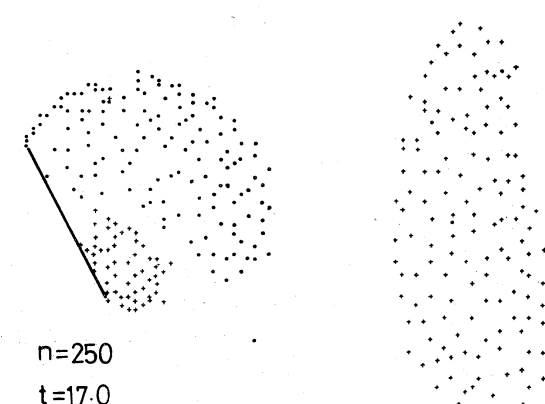
互作用によ

り漏れが形

成されてい

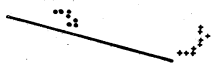
く。

(h)



$n=10$      $t=0.41$

図 2



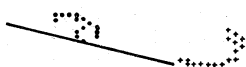
(a) 板の両端

から漏け出す

流れ。

$n=20$      $t=0.87$

(b)



$n=30$      $t=1.34$

(c) 下端から

はがれた漏

(下流側,

上端から出

たれた漏は

板の上にと

どまる。

150

$n=40$   $t=1.82$

(d) 突端成長

T<sub>3</sub>



$n=50$   $t=2.32$

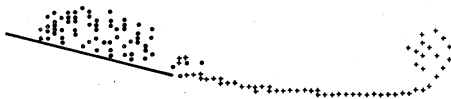
(e)



$n=70$   $t=3.39$

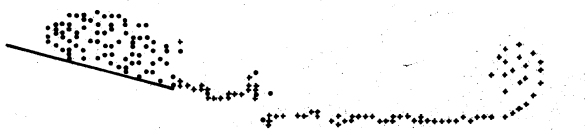
(f) 上端から  
はがれ下渦

が成長し、  
下端からは  
はがれ下渦に  
影響を及ぼ  
しえじめる。



151

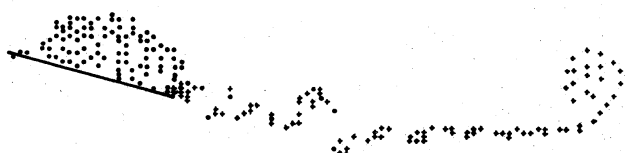
$n=90$   $t=4.55$



(g) 下端から  
はがれた渦

層がみだれ  
はじめる。

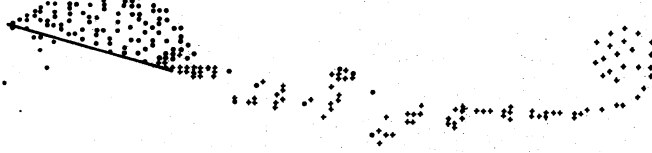
$n=110$   $t=5.42$



(h) 游層のみ

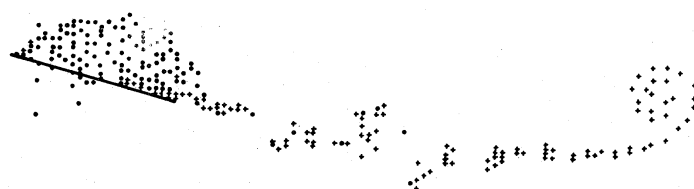
だれか入る  
とする。

$n=130$   $t=5.90$

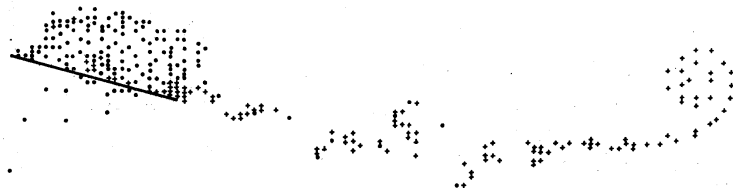


(i) 下端から  
はがれた渦

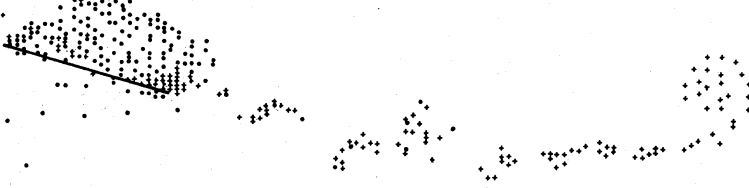
や上端から  
の渦の間に  
わってまい  
りはじめる。

$n=150 \quad t=6.29$ 

(f) 以下漏り  
成長がます  
む。

 $n=170 \quad t=6.75$ 

(g)

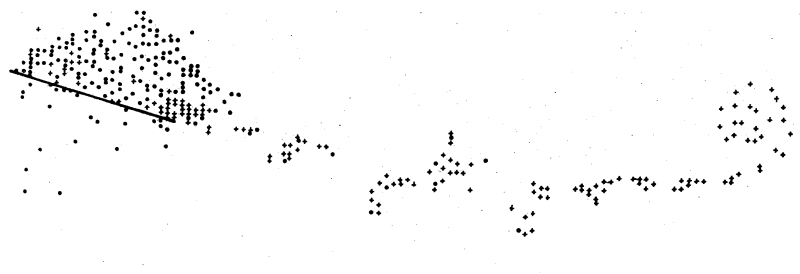
 $n=190 \quad t=7.09$ 

(h)

153

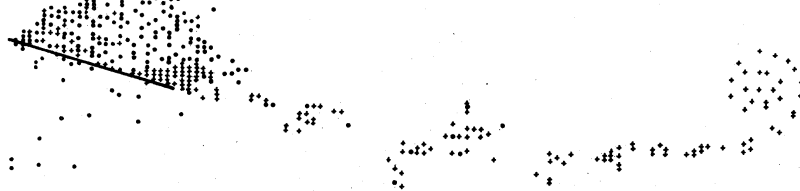
$n=210 \quad t=7.46$

(m)



$n=230 \quad t=7.66$

(n)



$n=270 \quad t=8.22$

(o)

